

また式(6)は初期状態 $t=0$ で $G=1-[2S_R(0^+)x]^{\frac{1}{2}}$ 、最終状態 $t=\infty$ で $G=1-[2S_R(0^+)x]^{\frac{1}{2}}$ となり定常解と一致する。 $\frac{\partial G}{\partial t}$ を求めると大きさは式(6)における指数項中での t の係数 $S_R(0^+)/D$ の x によって決まり、

i) 変動後の流入量が大きいほど、 ii) x が小さい、すなわち海側に近い場所ほど

大きいことがわかる。

さて、流入量が減少して塩水が内陸部に向って浸入する過程とその逆の過程すなわち流入量が増大して塩水が後退する過程を考えると、両者とも移動速度 $\frac{\partial G}{\partial t}$ は変動後の流入量 $S_R(0^+)$ によって決定され、浸入状態における変動後の流入量は後退状態でのそれと比べて小さいから塩水が内陸部に向って浸入する過程は後退する過程に比べてゆっくり進行することがわかる。

水位が変動する場合について 上流部 $x=L$ において地下水位が突然変動する場合を考える。初期状態および最終状態での式(1)の定常解は

$$\eta_R^{eff}(x,0) = \eta_R^{eff}(0^+) \frac{x}{L} \quad (7) \quad \eta_R^{eff}(x,\infty) = \eta_R^{eff}(0^+) \frac{x}{L} \quad (8)$$

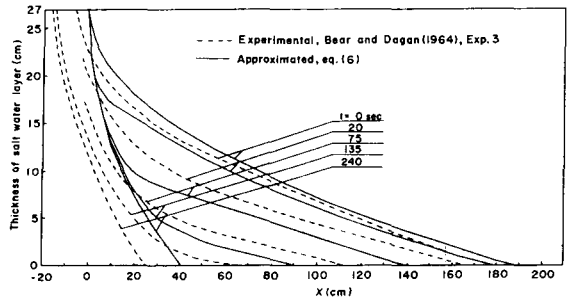
である。ここで、 $\eta_R^{eff} = (\eta_R - \tilde{H})\rho_1 / (\rho_2 - \rho_1)D - \frac{1}{2}$ であり、 $\eta_R(0^-)$ および $\eta_R(0^+)$ は $x=L$ での初期状態および変動後の地下水位である。流入量変動の場合と同様な考察により塩水層厚は次式で示される。

$$G(x,t) = 1 - \left[\frac{\frac{2}{L} \left[\frac{\rho_1 \{ \eta_R(0^+) - \tilde{H} \}}{(\rho_2 - \rho_1)D} - \frac{1}{2} \right]}{1 + \frac{\eta_R(0^+) - \eta_R(0^-)}{\eta_R(0^-) - \tilde{H} - \frac{(\rho_2 - \rho_1)D}{2\rho_1}} \exp \left[- \left(\eta_R(0^+) - \tilde{H} - \frac{(\rho_2 - \rho_1)D}{2\rho_1} \right) \frac{k}{L} \frac{t}{x} \right]} \right] \cdot x \quad (9)$$

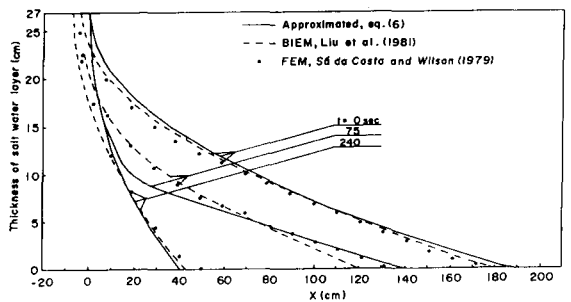
また移動速度は揚水量変動の場合での i), ii) に加えて iii) 透水性係数が大きいほど速いことがわかる。

3. 諸研究における実験結果および解析結果との比較 無揚水での地下水流入量および地下水位が変動する場合について簡略解を示したが、流入量変動に対して、Liuら(1981)は境界要素法を用い、

Sá da Costa - Wilson(1979)は有限要素法を用いてそれぞれ非定常問題を数値解析しており、Bear-Dagan(1964)はHele-Shawモデルを用いて実験的研究を行っている。図-2(a)はBear-Daganの実験結果と簡略解による解析結果とを比較したものである。この図をみると、各時刻における塩水層厚は一致しないがその形状の変化はよく似た傾向を示している。図-2(b)は簡略解による解析結果とLiuらおよびSá da Costaらによる数値解析結果とを比較したものである。なお、 $x=0$ 付近においてLiuらおよびSá da Costaらの解析結果が簡略解より負の側にあるのはそこの境界条件の与え方が異なるためである。この図をみると、両数値解析結果と簡略解はかなりよい一致を示している。したがって簡略解は取り扱いが簡単であることと考えると、移動状況の概要を把握するには非常に実用的な手法である。



(a)



(b)

図-2(a),(b) 塩水層厚の比較

したがって簡略解は取り扱いが簡単であることと考えると、移動状況の概要を把握するには非常に実用的な手法である。